

Орбитальный угловой момент вихревых лазерных пучков Ханкеля с круговой поляризацией

М.А. Волынов^а, В. В. Котляр^{а,б}, А. А. Ковалев^{а,б}

^а Самарский национальный исследовательский университет имени академика С.П. Королева, 443086, Московское шоссе, 34, Самара, Россия

^б Институт систем обработки изображений РАН – филиал ФНИЦ «Кристаллография и фотоника» РАН, 443001, ул. Молодогвардейская, 151, Самара, Россия

Аннотация

Получены явные выражения для амплитуд всех проекций векторов напряженности электрического и магнитного поля для вихревых пучков Ханкеля с правой и левой круговой поляризацией. Эти амплитуды точно удовлетворяют уравнениям Максвелла. Приводится сравнение с полученными ранее результатами для пучков Ханкеля с линейной поляризацией.

Ключевые слова: векторные пучки; пучок Ханкеля; круговая поляризация; орбитальный угловой момент; сферические волны

1. Введение

Наиболее известными решениями непараксиального уравнения Гельмгольца являются плоские и сферические волны, моды (пучки) Бесселя. По данным решениям были получены явные аналитические выражения для проекций электрического и магнитного векторов полей электромагнитной волны пучка Бесселя нулевого порядка и его ТЕ и ТМ модовых состояний и для произвольного порядка с линейной и круговыми поляризациями [1,2]. Также в [3] были рассмотрены ассиметричные бесселевы моды, отличающиеся смещением по действительной и мнимой координатам. Недавно было найдено новое решение непараксиального уравнения Гельмгольца, названное пучком Ханкеля. Амплитуда таких пучков описывается функцией Ханкеля полуцелого порядка. Пучок Ханкеля нулевого порядка совпадает со сферической волной. В работе [4] были рассмотрены скалярные вихревые пучки Ханкеля 1-ого, 2-ого и 3-его типов. В [5] были получены выражения для всех проекций E-, H-векторов напряженности электромагнитной волны векторного пучка Ханкеля в случае с линейной поляризацией с помощью метода углового спектра.

В данной работе рассмотрены векторные непараксиальные пучки Ханкеля с правой и левой круговой поляризацией. Получены явные выражения для проекций электрического и магнитного вектора. Рассмотрено приближение в дальней зоне.

2. Проекция векторов электромагнитного поля для правой и левой круговой поляризации

Метод углового спектра, более подробно рассмотренный в работе [6], позволяет вычислить проекции электрического и магнитного векторов пучка Ханкеля с правой и левой круговой поляризацией. Согласно данному методу, данные проекции вычисляются с использованием трех интегралов, выражения для которых найдены в [5,6].

$$\begin{aligned} I_1 &= \int_0^\infty \int_0^{2\pi} A(\rho, \theta) \times \exp \left[ikr \rho \cos(\varphi - \theta) - kz \sqrt{\rho^2 - 1} \right] \rho d\rho d\varphi, \\ I_2 &= \int_0^\infty \int_0^{2\pi} \frac{A(\rho, \theta)}{\sqrt{\rho^2 - 1}} \times \exp \left[ikr \rho \cos(\varphi - \theta) - kz \sqrt{\rho^2 - 1} \right] \rho d\rho d\varphi, \\ I_3 &= \int_0^\infty \int_0^{2\pi} A(\rho, \theta) \sqrt{\rho^2 - 1} \times \exp \left[ikr \rho \cos(\varphi - \theta) - kz \sqrt{\rho^2 - 1} \right] \rho d\rho d\varphi, \end{aligned} \quad (1)$$

где $A(\rho, \theta)$ - комплексная амплитуда спектра плоских волн, (x, y, z) - декартовы координаты, z - координата вдоль оптической оси, (r, φ, z) - цилиндрические координаты и (ρ, θ) - безразмерные полярные координаты спектра плоских волн.

Выделяя «вихревую» составляющую амплитуды спектра плоских волн:

$$A(\rho, \theta) = A(\rho) \exp(in\theta), \quad (2)$$

и предполагая, что $A(\rho) = \rho^n$, можно вычислить интегралы (1) и получить следующие выражения для них:

$$\begin{aligned} I_1 &= i^{n-1} \pi \lambda^{1/2} z r^n e^{in\varphi} \Psi_{n+3/2}(R) \\ I_2 &= i^{n-1} \pi \lambda^{1/2} r^n e^{in\varphi} \Psi_{n+1/2}(R). \end{aligned} \quad (3)$$

$$I_3 = i^{n-1} \pi \lambda^{1/2} r^n e^{in\varphi} \left[z^2 \Psi_{n+5/2}(R) - \frac{1}{k} \Psi_{n+3/2}(R) \right],$$

$$\text{где } \Psi_{n+l}(R) = \frac{H_{n+l}(R)}{R^{n+l}}, \quad R = \sqrt{r^2 + z^2}. \quad (4)$$

Электрическое поле задается выражением:

$$\hat{E}(x, y, z) = (\alpha_z \hat{x} + \beta_z \hat{y}) E(x, y, z) + E_z(x, y, z) \hat{z}. \quad (5)$$

$$\text{Для круговой поляризации } \alpha_z = 1, \quad \beta_z = \pm i. \quad (6)$$

Выражения для нахождения компонент векторов электрического и магнитного поля запишем следующим образом:

$$\begin{cases} E_x = \alpha_z I_1 \\ E_y = i \alpha_z I_1 = i E_x \\ E_z = \alpha_z \frac{i}{k} \frac{\partial}{\partial x} I_2 + \beta_z \frac{i}{k} \frac{\partial}{\partial y} I_2 \end{cases}, \quad (7)$$

$$\begin{cases} H_x = \frac{i}{k\mu} \left(\frac{i}{k} \frac{\partial^2}{\partial y \partial x} I_2 \mp \frac{1}{k} \frac{\partial^2}{\partial y^2} I_2 - i \frac{\partial I_1}{\partial z} \right) \\ H_y = \frac{i}{k\mu} \left(\frac{\partial I_1}{\partial z} - \frac{i}{k} \frac{\partial^2}{\partial x^2} I_2 \mp \frac{1}{k} \frac{\partial^2}{\partial y \partial x} I_2 \right) \\ H_z = \frac{i}{k\mu} \left(\pm i \frac{\partial}{\partial x} I_1 - \frac{\partial}{\partial y} I_1 \right) \end{cases}. \quad (8)$$

Выполнив подстановку (6) в (7) и сделав некоторые преобразования выражений, можно найти проекции электрического $E = (E_x, E_y, E_z)$ и магнитного $H = (H_x, H_y, H_z)$ векторов для конкретных правой $E_x + iE_y$ и левой $E_x - iE_y$ круговых поляризаций пучка Ханкеля. Будем обозначать компоненты правой поляризации со знаком «+», левой со знаком «-».

Для пучка Ханкеля с правой круговой поляризацией получим:

$$\begin{cases} E_x^+(r, \varphi, z) = i^{n-1} \pi \lambda^{1/2} z (re^{i\varphi})^n \Psi_{n+3/2}(R) \\ E_y^+(r, \varphi, z) = i^n \pi \lambda^{1/2} z (re^{i\varphi})^n \Psi_{n+3/2}(R) \\ E_z^+(r, \varphi, z) = i^{n+1} \pi \lambda^{1/2} (re^{i\varphi})^{n+1} \Psi_{n+3/2}(R) \\ H_x^+(r, \varphi, z) = i^{n-1} \frac{\lambda^{3/2}}{2\mu} (re^{i\varphi})^n \left\{ (n+2) \Psi_{n+3/2}(R) - k(z^2 - ir^2 e^{i\varphi} \sin \varphi) \Psi_{n+5/2}(R) \right\} \\ H_y^+(r, \varphi, z) = i^n \frac{\lambda^{3/2}}{2\mu} (re^{i\varphi})^n \left\{ (n+2) \Psi_{n+3/2}(R) - k(z^2 + r^2 e^{i\varphi} \cos \varphi) \Psi_{n+5/2}(R) \right\} \\ H_z^+(r, \varphi, z) = i^{n-1} \frac{\pi \lambda^{1/2} z}{\mu} (re^{i\varphi})^{n+1} \Psi_{n+5/2}(R) \end{cases}. \quad (9)$$

Для пучка Ханкеля с левой круговой поляризацией получим:

$$\begin{cases}
E_x^-(r, \varphi, z) = i^{n-1} \pi \lambda^{1/2} z (re^{i\varphi})^n \Psi_{n+3/2}(R) \\
E_y^-(r, \varphi, z) = -i^n \pi \lambda^{1/2} z (re^{i\varphi})^n \Psi_{n+3/2}(R) \\
E_z^-(r, \varphi, z) = i^{n-1} \lambda^{3/2} (re^{i\varphi})^{n-1} \left\{ n \Psi_{n+1/2}(R) - \frac{kr^2}{2} \Psi_{n+3/2}(R) \right\} \\
H_x^-(r, \varphi, z) = i^{n+1} \frac{\lambda^{3/2}}{2\mu} (re^{i\varphi})^n \left\{ \frac{2n(n-1)e^{-2i\varphi}}{kr^2} \Psi_{n+1/2}(R) - (2ne^{-2i\varphi} - n - 2) \Psi_{n+3/2}(R) - \right. \\
\left. -k(z^2 + ir^2 e^{-i\varphi} \sin \varphi) \Psi_{n+5/2}(R) \right\} \\
H_y^-(r, \varphi, z) = i^n \frac{\lambda^{3/2}}{2\mu} (re^{i\varphi})^n \left\{ \frac{2n(n-1)e^{-2i\varphi}}{kr^2} \Psi_{n+1/2}(R) + (2ne^{-2i\varphi} + n + 2) \Psi_{n+3/2}(R) - \right. \\
\left. -k(z^2 + r^2 e^{-i\varphi} \cos \varphi) \Psi_{n+5/2}(R) \right\} \\
H_z^-(r, \varphi, z) = i^{n-1} \frac{\lambda^{3/2} z}{\mu} (re^{i\varphi})^{n-1} \left\{ n \Psi_{n+3/2}(R) - \frac{kr^2}{2} \Psi_{n+5/2}(R) \right\}
\end{cases} \quad (10)$$

Из сравнения (9) и (10) видно, что правая круговая поляризация при положительном топологическом заряде n увеличивает на единицу этот заряд у амплитуд продольных проекций электрического и магнитного векторов, и, наоборот, левая круговая поляризация уменьшает на единицу топологический заряд оптического вихря n у амплитуд продольных проекций электрического и магнитного векторов. У остальных проекций топологический заряд не изменяется и остается равным n . Это приводит к тому, что при отсутствии оптического вихря ($n = 0$) продольные компоненты пучка Ханкеля с левой и правой поляризациями представляют собой оптические вихри с топологическими зарядами $n = \pm 1$:

$$E_{Oz}^{\pm}(\rho, \varphi, z) = i\pi\lambda^{1/2} re^{\pm i\varphi} \Psi_{3/2}(R), \quad (11)$$

$$H_{Oz}^{\pm}(\rho, \varphi, z) = \mp \frac{i\pi\lambda^{1/2} z}{\mu} re^{\pm i\varphi} \Psi_{5/2}(R). \quad (12)$$

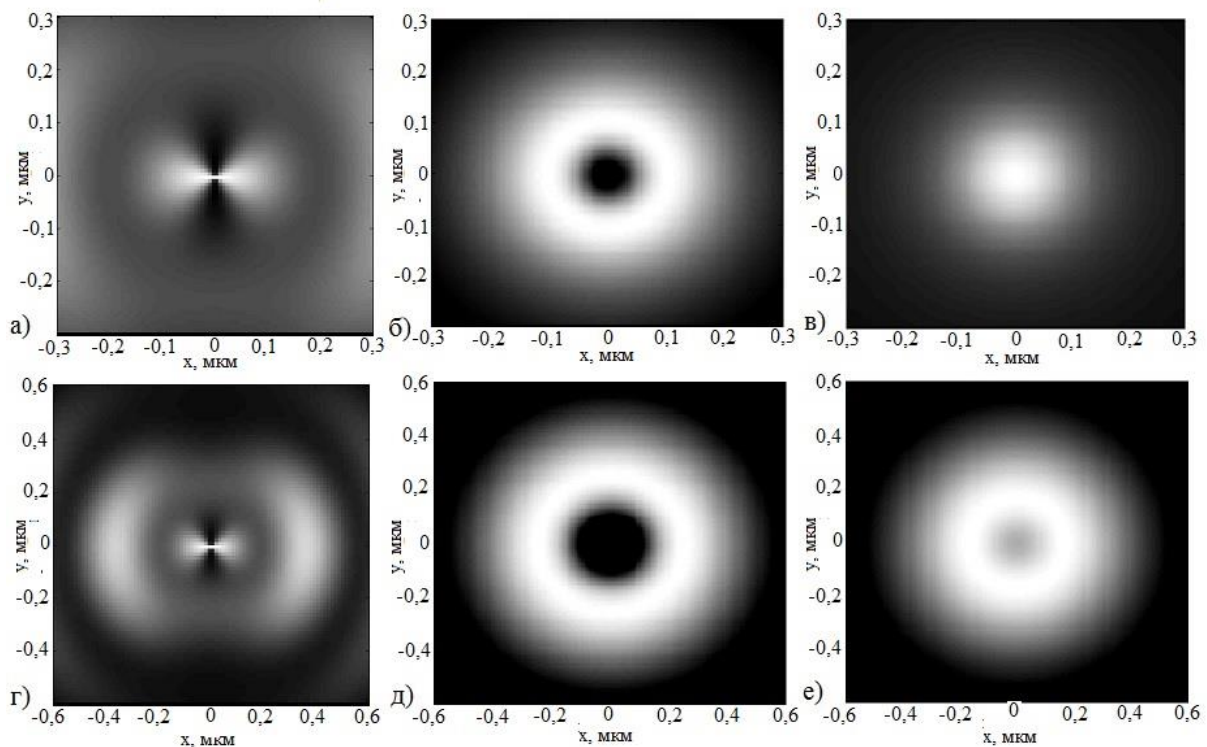


Рис. 1 Распределения интенсивности $I = |E_x|^2 + |E_y|^2 + |E_z|^2$ пучка Ханкеля ($n=1$) с линейной $E_y = 0$ (а,г), правой круговой (б,д) и левой круговой (в,е) поляризациями на расстояниях $z=\lambda/4$ (а-в), $z=\lambda/2$ (г-е).

Пусть топологический заряд $n=1$ на оптической оси ($\Gamma=0$). В этом случае от нуля отличны только продольные компоненты электромагнитного поля пучка Ханкеля с левой поляризацией:

$$E_{1z}^- = \lambda^{3/2} \Psi_{3/2}(z), \quad H_{1z}^- = \frac{\lambda^{3/2} z}{\mu} \Psi_{5/2}(z). \quad (13)$$

Таким образом, при $n=1$ и левой круговой поляризации на малых расстояниях z , вместо светового кольца формируется световое пятно, которое при удалении переходит в кольцо.

Из рис.1 видно, что если для линейной поляризации пучок Ханкеля не обладает круговой симметрией (и вращается в ближней зоне), то пучки Ханкеля с круговой поляризацией обладают круговой симметрией и имеют вид светового кольца или круга.

2. Вихревые пучки Ханкеля с круговой поляризацией в дальней зоне

В случае дифракции пучка Ханкеля в дальней зоне (при $z \gg \lambda$), справедливо приближение:

$$H_l(x) \approx \sqrt{\frac{2}{\pi x}} (-i)^{l+1/2} e^{ix}. \quad (14)$$

В этом случае выражение (4) переписывается в виде:

$$\Psi_{n+l} = \frac{H_{n+l}}{R^{n+l}} = \frac{\lambda^{1/2} (-i)^{n+l+1/2} e^{ikR}}{\pi R^{n+l+1/2}}. \quad (15)$$

(15)

Подставляя (18) в (9) для пучка Ханкеля с правой поляризацией получим:

$$\left\{ \begin{array}{l} E_x^+(r, \varphi, z) = i\lambda \frac{r^n z}{R^{n+2}} e^{in\varphi + ikR} \\ E_y^+(r, \varphi, z) = -\lambda \frac{r^n z}{R^{n+2}} e^{in\varphi + ikR} \\ E_z^+(r, \varphi, z) = -i\lambda \frac{r^{n+1} z}{R^{n+2}} e^{i(n+1)\varphi + ikR} \\ H_x^+(r, \varphi, z) = \frac{\lambda}{\mu} \left[i \frac{(n+2)}{kR^{n+2}} + \frac{ire^{i\varphi} \sin \varphi - z^2}{R^{n+3}} \right] r^n e^{in\varphi + ikR} \\ H_y^+(r, \varphi, z) = i \frac{\lambda}{\mu} \left[i \frac{(n+2)}{kR^{n+2}} - \frac{r^2 e^{i\varphi} \cos \varphi - z^2}{R^{n+3}} \right] r^n e^{in\varphi + ikR} \\ H_z^+(r, \varphi, z) = \frac{\lambda}{\mu} \frac{r^{n+1} z}{R^{n+3}} e^{i(n+1)\varphi + ikR} \end{array} \right. \quad (16)$$

Для левой поляризации выражения можно получить подставив (18) в (10). Выражения для интенсивности для правой и левой поляризаций равны:

$$I_n^+(r, \varphi, z) = |E_x^+(r, \varphi, z)|^2 + |E_y^+(r, \varphi, z)|^2 + |E_z^+(r, \varphi, z)|^2 = \lambda^2 \frac{r^{2n}}{R^{2n+4}} \left[r^2 + 2z^2 \right], \quad (17)$$

$$I_n^-(r, \varphi, z) = |E_x^-(r, \varphi, z)|^2 + |E_y^-(r, \varphi, z)|^2 + |E_z^-(r, \varphi, z)|^2 = \lambda^2 \frac{r^{2n}}{R^{2n+4}} \left[r^2 + 2z^2 + \frac{4n^2 R^2}{k^2 r^2} \right]. \quad (18)$$

Вектор Умова-Пойнтинга $\mathbf{S} = \mathbf{E} \times \mathbf{H}^*$ может быть рассчитан для пучков Ханкеля с круговой поляризацией, пользуясь выражениями для проекций электрического и магнитного векторов. Но эти выражения будут громоздкими, и их анализ будет затруднителен. Выражения же для проекций вектора Умова-Пойнтинга для пучка Ханкеля с круговой поляризацией в дальней зоне выглядят менее громоздкими. Приведем выражения только для поперечных проекций вектора \mathbf{S} , которые участвуют в определении осевой проекции вектора углового момента. Тогда для правой круговой поляризации:

$$\begin{aligned}
S_{nx}^+(r, \varphi, z) &= E_{ny}^{+*}(r, \varphi, z)H_{nz}^+(r, \varphi, z) - E_{nz}^{+*}(r, \varphi, z)H_{ny}^+(r, \varphi, z) = \\
&= \left[-\lambda \frac{r^n z}{R^{n+2}} e^{-in\varphi - ikR} \right] \left[\frac{\lambda r^{n+1} z}{\mu R^{n+3}} e^{i(n+1)\varphi + ikR} \right] \\
&- \left[i\lambda \frac{r^{n+1}}{R^{n+2}} e^{-i(n+1)\varphi - ikR} \right] \left[i \frac{\lambda}{\mu} \left(i \frac{n+2}{kR^{n+2}} - \frac{r^2 e^{i\varphi} \cos \varphi + z^2}{R^{n+3}} \right) r^n e^{in\varphi + ikR} \right] = \\
&= \frac{\lambda^2}{\mu} \frac{r^{2n+1}}{R^{2n+5}} \left[i \frac{n+2}{k} R e^{-i\varphi} - (r^2 + 2z^2) \cos \varphi \right],
\end{aligned} \tag{19}$$

$$\begin{aligned}
S_{ny}^+(r, \varphi, z) &= E_{nz}^{+*}(r, \varphi, z)H_{nx}^+(r, \varphi, z) - E_{nx}^{+*}(r, \varphi, z)H_{nz}^+(r, \varphi, z) = \\
&= \left[i\lambda \frac{r^{n+1}}{R^{n+2}} e^{-i(n+1)\varphi - ikR} \right] \left[\frac{\lambda}{\mu} \left(i \frac{n+2}{kR^{n+2}} + \frac{ir^2 e^{i\varphi} \sin \varphi - z^2}{R^{n+3}} \right) r^n e^{in\varphi + ikR} \right] \\
&+ \left[i\lambda \frac{r^n z}{R^{n+2}} e^{-in\varphi - ikR} \right] \left[\frac{\lambda r^{n+1} z}{\mu R^{n+3}} e^{i(n+1)\varphi + ikR} \right] = \\
&= \frac{\lambda^2}{\mu} \frac{r^{2n+1}}{R^{2n+5}} \left[-\frac{n+2}{k} R e^{-i\varphi} - (r^2 + 2z^2) \sin \varphi \right],
\end{aligned} \tag{20}$$

и для левой круговой поляризации:

$$\begin{aligned}
S_{nx}^-(r, \varphi, z) &= E_{ny}^{-*}(r, \varphi, z)H_{nz}^-(r, \varphi, z) - E_{nz}^{-*}(r, \varphi, z)H_{ny}^-(r, \varphi, z) = \\
&= \frac{\lambda^2}{\mu} \frac{r^{2n+1}}{R^{2n+5}} \left\{ 2z^2 \left(\frac{2nR}{kr^2} \sin \varphi - \cos \varphi \right) \right. \\
&\quad \left. + \left(1 + \frac{2inR}{kr^2} \right) \left[\frac{2n(n-1)e^{-i\varphi}}{r^2} \frac{R^2}{k^2} + i \left(2ne^{-2i\varphi} + n + 2 \right) \frac{R}{k} e^{i\varphi} - r^2 \cos \varphi \right] \right\}
\end{aligned} \tag{21}$$

$$\begin{aligned}
S_{ny}^-(r, \varphi, z) &= E_{nz}^{-*}(r, \varphi, z)H_{nx}^-(r, \varphi, z) - E_{nx}^{-*}(r, \varphi, z)H_{nz}^-(r, \varphi, z) = \\
&= \frac{\lambda^2}{\mu} \frac{r^{2n+1}}{R^{2n+5}} \left\{ \left(1 + \frac{2inR}{kr^2} \right) \left[i \frac{2n(n-1)e^{-i\varphi}}{r^2} \frac{R^2}{k^2} - \left(2ne^{-2i\varphi} - n - 2 \right) \frac{R}{k} e^{i\varphi} - r^2 \sin \varphi \right] \right. \\
&\quad \left. - 2z^2 \left(\sin \varphi + \frac{2nR}{kr^2} \cos \varphi \right) \right\}.
\end{aligned} \tag{22}$$

Проекция на ось z векторов плотности углового момента $\mathbf{j} = \text{Re}[\mathbf{r} \times \mathbf{S}]$ для пучков Ханкеля в дальней зоне с правой и левой круговой поляризациями имеет вид :

$$j_{nz}^+(r, \varphi, z) = \text{Re} \left\{ xS_{ny}^+(r, \varphi, z) - yS_{nx}^+(r, \varphi, z) \right\} = -\frac{\lambda^2}{\mu} \frac{n+2}{k} \frac{r^{2n+2}}{R^{2n+4}}. \tag{23}$$

$$\begin{aligned}
j_{nz}^-(r, \varphi, z) &= \text{Re} \left\{ xS_{ny}^-(r, \varphi, z) - yS_{nx}^-(r, \varphi, z) \right\} = \\
&= -\frac{\lambda^2}{\mu} \frac{r^{2n+1}}{R^{2n+5}} \left[4n^2 (n-1) \frac{R^3}{k^3 r^3} + (n-2) \frac{R}{k} r + 4nz^2 \frac{R}{kr} \right].
\end{aligned} \tag{24}$$

Можно показать, что при $r = 0$ плотность ОУМ (23), (24) не стремится к бесконечности, а равна нулю независимо от поляризации. Заметим, что при $n=0$ у пучка Ханкеля остается спиновый угловой момент:

$$j_{0z}^+(r, \varphi, z) = -j_{0z}^-(r, \varphi, z) = -\frac{2\lambda^2}{\mu k} \frac{r^2}{R^4}. \quad (25)$$

4. Заключение

Получены в явном виде амплитуды всех проекций векторов напряженности электрического и магнитного полей для векторного пучка Ханкеля с круговой поляризацией. Рассмотрен случай с круговой поляризацией в дальней зоне. В отличие от случая с линейной поляризацией, круговая поляризация пучка Ханкеля обладает круговой симметрией и имеет вид кольца или круга, в зависимости от расстояния z правой или левой поляризации.

Литература

- [1] Mishra, S. R. A vector wave analysis of a Bessel beam // *Opt. Commun.* – 1991. - Vol. 85. - P. 159-161.
- [2] Wang, Y. Vector analyses of linearly and circularly polarized Bessel beams using Herz vector potentials / Y. Wang, W. Dou, H. Meng // *Opt. Express.* – 2014. - Vol. 22, № 7 - P. 7821-7830.
- [3] Котляр, В.В. Асимметричные моды Бесселя первого и второго типа и их суперпозиции / В.В. Котляр, А.А. Ковалев // *Компьютерная оптика.* – 2015. - Т.39, № 1. - С. 5-11.
- [4] Котляр, В.В. Непараксиальные вихревые лазерные пучки Ханкеля первого и второго типов / В.В. Котляр, А.А. Ковалёв, В.А. Сойфер // *Компьютерная оптика.* – 2015. – Т.39, № 3. - С. 299-304.
- [5] Котляр, В.В. Векторные лазерные пучки Ханкеля с орбитальным угловым моментом / В.В. Котляр, А.А. Ковалев // *Компьютерная оптика.* – 2015. - Т.39, № 4. - С. 449-452.
- [6] Cerjan, A. Orbital angular momentum of Laguerre-Gaussian beams beyond the paraxial approximation / A. Cerjan, C. Cerjan // *J. Opt. Soc. Am. A.* – 2011. - Vol. 28. - P.2253-2260.